

# Relazione progetto GPU computing

Martino Tiziani

Maggio 2019

## 1 Attacco Algebrico

Un'attacco algebrico è un particolare tipo di attacco crittografico che fa uso dell'algebra lineare per trovare la chiave segreta di un cifrario. La tecnica si compone di due fasi:

- **fase di traduzione:** si effettua una traduzione del cifrario, che deve essere attaccato, in un sistema di equazioni polinomiali con coefficienti in un campo finito (il modulo è quindi un numero primo).
- **fase di risoluzione:** si risolve il sistema di equazioni, appena trovato, e si estrae dalla soluzione la chiave segreta del cifrario originale (o parte di essa).

Questo attacco è molto interessante per via della sua versatilità, infatti questa tecnica è applicabile a tutti i cifrari che sono scrivibili come un sistema di equazioni, la grande potenzialità è che tutti i cifrari realizzati fino ad oggi possiedono questa proprietà.

L'attacco algebrico risulta quindi un attacco che può essere utilizzato su qualsiasi cifrario, tuttavia è ancora poco conosciuto, rispetto ad altre tecniche di crittoanalisi e questo è dovuto alla sua complessità computazionale. Infatti senza entrare troppo nel dettaglio della teoria della complessità, la fase di risoluzione di un sistema di equazioni lineari in campo finito è classificato come NP-complete. Un problema con questa complessità risulta irrisolvibile, in un tempo accettabile, per istanze di grosse dimensioni, e anche con piccole dimensioni i tempi di esecuzione sono elevati. Tuttavia il parallelismo potrebbe portare in alcuni casi dei benefici da non sottovalutare.

## 2 Risolvere il sistema

Risolvere il sistema di equazioni che descrive il cifrario in discussione è il punto centrale dell'attacco algebrico. Esistono diverse tecniche per risolvere tale sistema, alcune banali altre più ricercate e complesse. Molte di queste tecniche hanno benefici su particolari istanze di problema o in determinate condizioni. Il meccanismo di risoluzione qui esposto (realizzato come lavoro di tesi triennale) si compone di due fasi:

- **fase di espansione:** si espande il sistema aggiungendo delle equazioni in modo tale che il sistema risulti risolvibile.
- **fase di riduzione:** si riduce il sistema di equazioni con l'algoritmo di eliminazione di Gauss (si eliminano le equazioni linearmente dipendenti).

Si ripetono queste fasi fino alla soluzione completa del sistema (trovare i valori delle incognite delle equazioni). La fase di espansione è necessaria perché il sistema di partenza non è, quasi mai, direttamente risolvibile, ovvero non possiede sufficienti equazioni per poterne determinare la soluzione.

### 3 Riduzione di Gauss e parallelismo

Il fulcro di tutta la tecnica realizzata è la riduzione di Gauss di un sistema di equazioni modulari. Questo algoritmo rappresenta il sistema sotto forma di una matrice (monomi delle equazioni ordinati secondo un preciso ordinamento, in questo caso: *grevlex*) e ripete su di essa un set di operazioni consentite.

- scambiare due righe
- moltiplicare una riga per un numero diverso da zero
- sommare alla riga il multiplo di un'altra riga

Lo scopo dell'algoritmo è trasformare la matrice di partenza in una matrice a scalini. Ottenuta questa forma il sistema può essere facilmente risolto per sostituzione inversa.

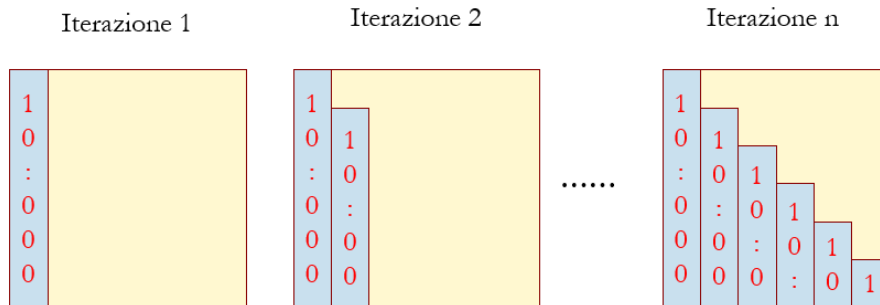


Figure 1: Riduzione a scalini della matrice

Fortunatamente questo algoritmo è per sua natura parzialmente parallelizzabile. Ci sono diverse varianti di questo algoritmo, qui viene utilizzata la riduzione di Gauss con pivot parziale.

---

**Algorithm 1:** Eliminazione di Gauss con pivot parziale

---

**Data:** Matrice  $M, m \times n$

**Result:** Matrice  $M$  ridotta a scalini,  $n \times n$

```
1 for  $k = n - 1$  to 1 do
2   trova la prima riga  $r$  tale che  $M[r][k] \neq 0$ ;
3   scambia la riga in posizione  $r$  con quella in  $k$ , se necessario;
4   for  $i = k + 1$  to  $m$  do
5      $x = a_{ik} / a_{kk}$ ;
6     for  $j = 0$  to  $k$  do
7        $a_{ij} = a_{ij} - a_{kj} \times x$ 
8     end
9   end
10 end
```

---

Come da pseudocodice si nota che i due cicli interni (riga 4,6) effettuano operazioni completamente indipendenti su dati indipendenti, perciò tali operazioni possono essere eseguite completamente in parallelo. Nella realizzazione del sistema si è sfruttato il parallelismo su CPU per velocizzare il più possibile la computazione, tuttavia data la natura fortemente parallela di una porzione dell'algoritmo è senza dubbio interessante verificare come il parallelismo di una GPU possa influenzare tale computazione.

## 4 Implementazione CUDA

Come detto in precedenza esistono tanti metodi per risolvere il sistema di equazioni in esame. La riduzione di Gauss è senza dubbio uno dei metodi più banali, tuttavia fornisce al programma una generalità (non sfrutta nessuna condizione specifica) che le altre tecniche non forniscono. La stessa riduzione di Gauss può essere effettuata in diversi modi, ciononostante lo scopo di questo progetto è quello di comparare l'implementazione parallela realizzata su CPU con quella per GPU, per cui non vengono utilizzate diverse risoluzioni come ad esempio la decomposizione LU, o altre.

Il problema e gli elementi su cui bisogna lavorare sono espressi più chiaramente dalla Figura 2, gli scalini vengono generati in senso opposto rispetto alla normale riduzione di Gauss a causa dell'ordinamento utilizzato. Si noti che, dopo aver identificato una colonna e riga pivot (celle arancioni), deve essere ridotta tutta la sottomatrice (di colore giallo) sottostante il pivot, per ottenere l' $i$ -esimo scalino (colonna pivot ridotta a 0 a partire dalla riga sottostante il pivot). La riduzione di questa porzione di matrice può avvenire in modo completamente parallelo.

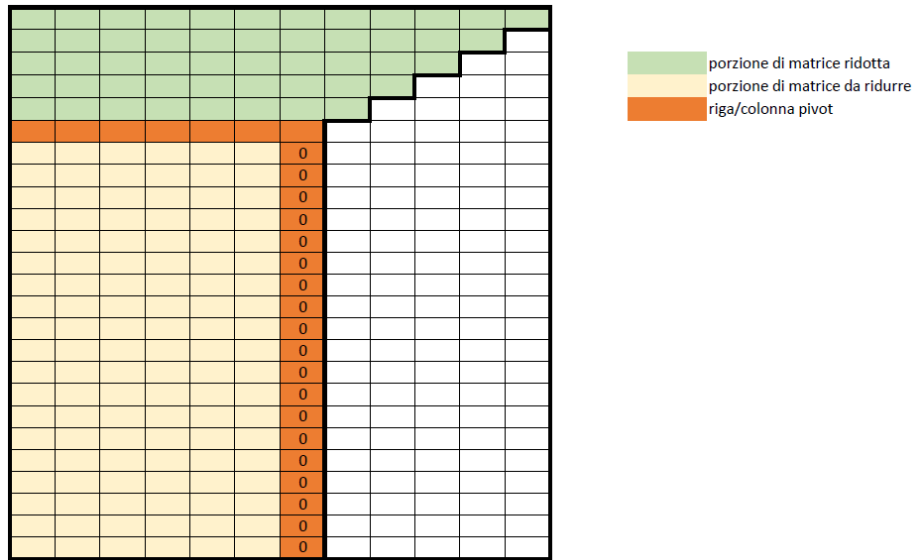


Figure 2: Schema della struttura della matrice all'i-esimo gradino

E' necessario riflettere su come implementare il ciclo esterno, riga 1, tale operazione infatti non è parallelizzabile. Si possono adottare due scelte:

- effettuare il ciclo esterno su CPU in modo veloce ed efficiente per poi trasferire su GPU la matrice e risolvere la riduzione in parallelo.
- effettuare il ciclo esterno su un singolo thread (kernel padre) in modo poco efficiente e sfruttare il **parallelismo dinamico** per lanciare la riduzione successiva (tramite kernel figlio).

La prima tecnica per quanto possa sembrare appetibile non è utilizzabile, in quanto il numero di trasferimenti della matrice risulta essere troppo elevato, quando la dimensione della matrice inizia a crescere i trasferimenti diventano insostenibili. La seconda tecnica sacrifica le performance del ciclo esterno per mantenere la matrice sempre in memoria globale della GPU evitando continui e costosissimi trasferimenti di memoria con la CPU. Per tanto si scelto di sfruttare il parallelismo dinamico per effettuare la riduzione della sottomatrice (porzione gialla).

La matrice viene rappresentata in row-major order e per ridurne la porzione gialla sono state realizzate tre tecniche diverse:

- **celle**: il kernel effettua la riduzione di una sola cella, tanti thread attivati e poco lavoro sul singolo thread.
- **righe**: il kernel effettua la riduzione di una intera riga. Molti meno thread lanciati, tuttavia all'aumentare del numero delle colonne della matrice il lavoro di ogni singolo thread può aumentare notevolmente.

- **blocco:** il kernel effettua la riduzione di un blocco della colonna. Ogni thread lavora su una sola colonna riducendone solo una piccola porzione. Soluzione che si trova nel mezzo delle precedenti, usa più thread della soluzione sulle righe ma meno di quella delle celle.

Sia nella tecnica celle che in quella blocco non è possibile azzerare gli elementi della colonna pivot direttamente durante la riduzione. Infatti diversi thread concorrenti devono accedere all'elemento  $a_{ik}$ , descritto alla linea 5 dello pseudocodice di Gauss, e tale elemento deve mantenere il proprio valore fino al termine della riduzione. Terminata la fase di riduzione si può azzerare la colonna pivot per formare lo scalino opportuno.

## 5 Risultati preliminari

Di seguito si forniscono i risultati ottenuti con una prima implementazione, che non sfrutta alcun tipo di ottimizzazione, delle tre tecniche descritte precedentemente. Gli input si riferiscono a dei sistemi di equazioni studiati appositamente per questo progetto. Tali sistemi si possono trovare nella directory *input* del progetto, mentre nella Tabella 1 si può trovare un riassunto delle loro proprietà principali. Non è possibile conoscere a priori la dimensione raggiunta dal sistema durante la procedura, le dimensioni riportate sono quindi una approssimazione della dimensione massima raggiunta durante la computazione.

| Sistema | Grado | modulo | Dimensione matrice (MB) |
|---------|-------|--------|-------------------------|
| A       | 8     | 1033   | 0.60                    |
| E       | 11    | 5813   | 5.26                    |
| H       | 13    | 11927  | 12.66                   |
| G       | 14    | 12437  | 21.60                   |
| J       | 16    | 21013  | 44.56                   |
| I       | 18    | 32353  | 91.54                   |
| K       | 20    | 49069  | 171                     |
| L       | 22    | 60101  | 292                     |
| M       | 27    | 117881 | 979                     |
| N       | 27    | 128341 | 979                     |
| O       | 29    | 153247 | 1493                    |
| P       | 29    | 163199 | 1493                    |

Table 1: Proprietà dei sistemi di input

Nella tabella 2 si forniscono i tempi di esecuzione su una GPU Nvidia GTX 960. Come ci si aspettava l'esecuzione su GPU risulta essere più veloce di quella su CPU. Tuttavia si nota anche una grossa differenza tra le tre tecniche realizzate. In particolare si evince subito che utilizzare un thread per ogni cella da ridurre risulta essere uno spreco a causa dell'overhead di lancio, ed all'aumentare della dimensione degli esempi questo problema non fa altro che aumentare. Di conseguenza questa tecnica non risulta adatta per questa computazione.

| Sistema | CPU    | celle  | righe  | blocco |
|---------|--------|--------|--------|--------|
| A       | 0,0669 | 0,2110 | 0,2400 | 0,2650 |
| E       | 0,6487 | 0,3880 | 0,5550 | 0,5680 |
| H       | 3,17   | 1,11   | 1,52   | 1,44   |
| G       | 6,07   | 1,63   | 1,91   | 1,80   |
| J       | 17,55  | 4,45   | 4,82   | 4,20   |
| I       | 52,36  | 11,46  | 11,66  | 9,78   |
| K       | 169    | 32     | 30     | 25     |
| L       | 303    | 58     | 48     | 42     |
| M       | 2086   | 363    | 268    | 233    |
| N       | 2292   | 406    | 299    | 264    |
| O       | 4083   | 710    | 483    | 439    |
| P       | 4520   | 786    | 548    | 492    |

Table 2: Tempi di esecuzione in secondi

Le altre due tecniche, invece, si prestano bene ad ottimizzazioni volte a diminuire ulteriormente i tempi di esecuzione.

## 5.1 Profiling

I primi risultati sono incoraggianti, le tecniche: righe e blocco forniscono buone prestazioni. A questo punto si cerca di ottimizzare il più possibile il kernel padre che lancia la riduzione tramite kernel figlio. Tale kernel infatti deve eseguire un numero considerevole di operazioni oltre alla riduzione: trovare il pivot, scambiare righe della matrice ed azzerare la colonna pivot (se necessario).

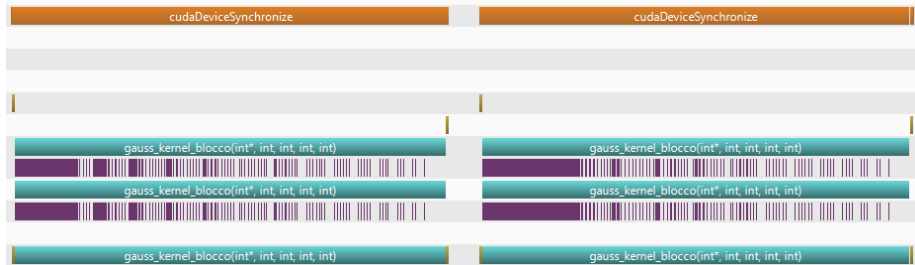


Figure 3: Profiling della versione preliminare della tecnica blocco

Come si nota dalla Figura 3 e dalla sessione di profiling (nella directory *profiling*) il kernel figlio, che effettua la riduzione della sottomatrice, occupa solo una porzione relativamente piccola del kernel padre (circa 25%), questo è visibile anche dagli "spazi bianchi" della figura. Questo indica che molto tempo è perso dal kernel padre per effettuare altre operazioni necessarie. Come detto in precedenza esiste **un solo thread che esegue il kernel padre**, quindi tutte le operazioni non effettuate tramite parallelismo dinamico risultano essere

eseguite serialmente da un unico thread. La prima ottimizzazione necessaria è quindi effettuare queste operazioni tramite nested kernel.

## 6 Ottimizzazioni (shared memory - parallelismo dinamico)

**Parallelismo Dinamico** dal profiling si evince che è necessario effettuare ulteriori operazioni (trovare il pivot, scambiare righe della matrice, azzerare la colonna pivot) tramite parallelismo dinamico. Si realizzano quindi i kernel necessari per tali operazioni. Si sposta così il carico di lavoro dal kernel padre ai figli, a questo punto il padre non effettua più molto lavoro, si preoccupa solo di iterare sulle varie colonne della matrice e lanciare le operazioni necessarie tramite parallelismo dinamico. Il parallelismo dinamico introduce purtroppo del ritardo nella computazione, infatti quando un kernel padre lancia kernel figli deve attendere il completamento di questi tramite `cudaDeviceSynchronize()`. I kernel delle diverse operazioni hanno bisogno della loro sincronizzazione, per cui all'aumentare del numero di operazioni effettuate, tramite parallelismo dinamico, aumenta l'overhead di sincronizzazione. Altro overhead è dato dal lancio stesso dei thread che comporta un ritardo da non sottovalutare.

**Shared Memory** un'ulteriore ottimizzazione è senza dubbio l'utilizzo della shared memory, che in questo caso è di enorme aiuto per mantenere informazioni sul pivot. Come indicato dallo pseudocodice è necessario conoscere il valore di tutta la riga pivot per effettuare la riduzione della sottomatrice. Ad ogni cella non-nulla della sottomatrice si sottrae un valore multiplo della corrispondente cella nella riga pivot, per cui poter accedere velocemente ed efficientemente a queste informazioni è fondamentale per le prestazioni dell'intero programma.

Per il kernel righe si può utilizzare la shared memory per contenere la riga pivot. Per il kernel blocco si può utilizzare la shared memory in maniera migliore, si memorizza infatti una porzione sia della riga pivot che della colonna pivot.

## 7 Risultati finali

Di seguito si riportano le performance del programma sfruttando le ottimizzazioni precedentemente descritte.

| Sistema | CPU    | righe | blocco |
|---------|--------|-------|--------|
| A       | 0,0669 | 0.223 | 0.251  |
| E       | 0,6487 | 0.406 | 0.435  |
| H       | 3,17   | 0.957 | 0.866  |
| G       | 6,07   | 1.209 | 1      |
| J       | 17,55  | 2.80  | 1.90   |
| I       | 52,36  | 6.44  | 3.75   |
| K       | 169    | 17    | 8      |
| L       | 303    | 27    | 14     |
| M       | 2086   | 181   | 93     |
| N       | 2292   | 195   | 103    |
| O       | 4083   | 345   | 183    |
| P       | 4520   | 384   | 202    |

Table 3: Tempi di esecuzione in secondi

### 7.1 Profiling

Si nota subito sia dai risultati ottenuti in Tabella 3 che dalla Figura 4 come l'utilizzo di più kernel e shared memory aumenta l'efficienza e riduce notevolmente i tempi di esecuzione. Il kernel padre ora presenta ritardi solo nel calcolo dei parametri di lancio dei thread figli e nella sincronizzazione con essi.

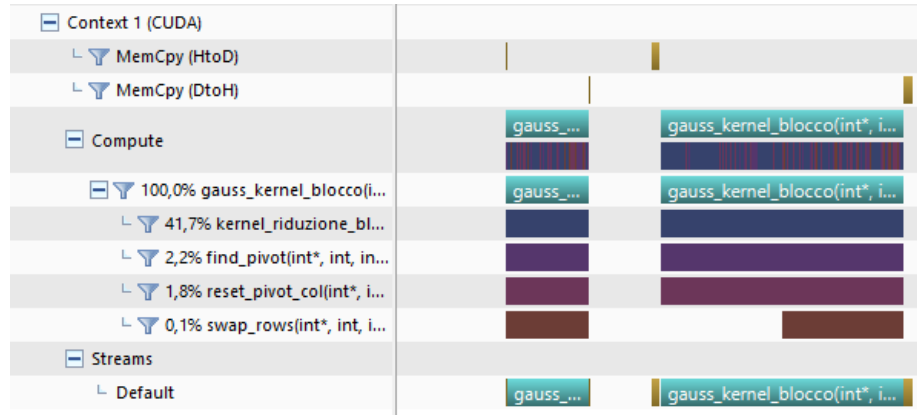


Figure 4: Profiling della versione ottimizzata della tecnica blocco



## 8 Considerazioni finali

E' evidente che l'utilizzo della GPU comporta prestazioni molto più elevate rispetto alla CPU. Il forte parallelismo di una porzione dell'algoritmo di eliminazione di Gauss permette di sfruttare appieno le potenzialità delle moderne GPU. Di seguito si presenta un confronto grafico delle prestazioni CPU-GPU, si nota inoltre che i risultati della GPU sono stati ottenuti con un hardware di basso livello. L'utilizzo di schede apposite può portare sicuramente a prestazioni molto più elevate.

